



传热学

非稳态导热I

授课教师：苗雨



目 录

- 一、知识回顾**
- 二、非稳态导热的定义与分类**
- 三、非稳态导热的特点**
- 四、非稳态导热的几种常见问题**
- 五、非稳态导热相关的无量纲数**
- 六、零维问题**
- 七、零维问题的实际应用**

知识回顾

稳态导热问题

1 一维无内热源稳态导热

2 变截面的一维问题

3 变导热系数的一维问题

4 通过多层壁的导热问题

5 通过肋片（翅片）的导热问题

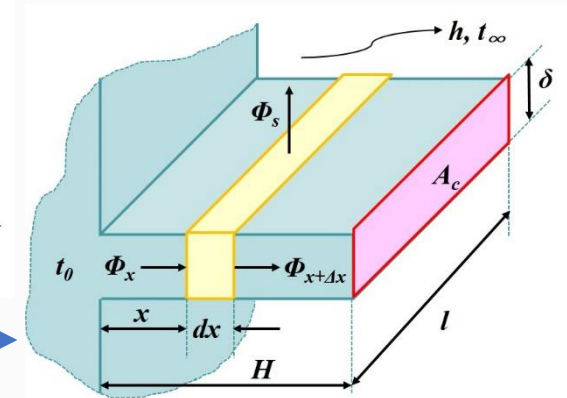
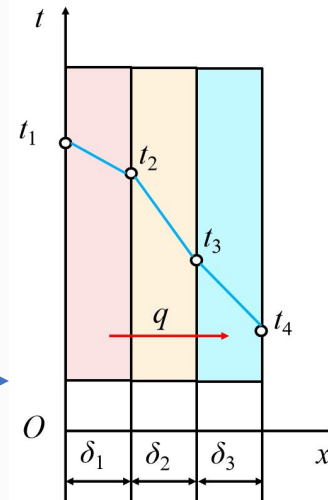
6 一维有内热源导热问题

7 多维稳态导热问题

~~$$\rho c \frac{\partial t}{\partial \tau} = \frac{\partial}{\partial x} \left(\lambda \frac{\partial t}{\partial x} \right) + \frac{\partial}{\partial y} \left(\lambda \frac{\partial t}{\partial y} \right) + \frac{\partial}{\partial z} \left(\lambda \frac{\partial t}{\partial z} \right) + \dot{\Phi}$$~~

$$A = A(x)$$

$$\lambda = \lambda(t)$$



~~$$\rho c \frac{\partial t}{\partial \tau} = \frac{\partial}{\partial x} \left(\lambda \frac{\partial t}{\partial x} \right) + \frac{\partial}{\partial y} \left(\lambda \frac{\partial t}{\partial y} \right) + \frac{\partial}{\partial z} \left(\lambda \frac{\partial t}{\partial z} \right) + \dot{\Phi}$$~~

✓ 分离变量法

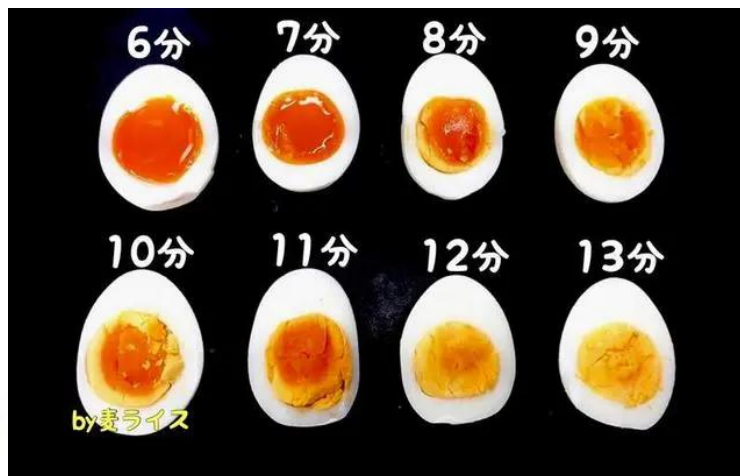
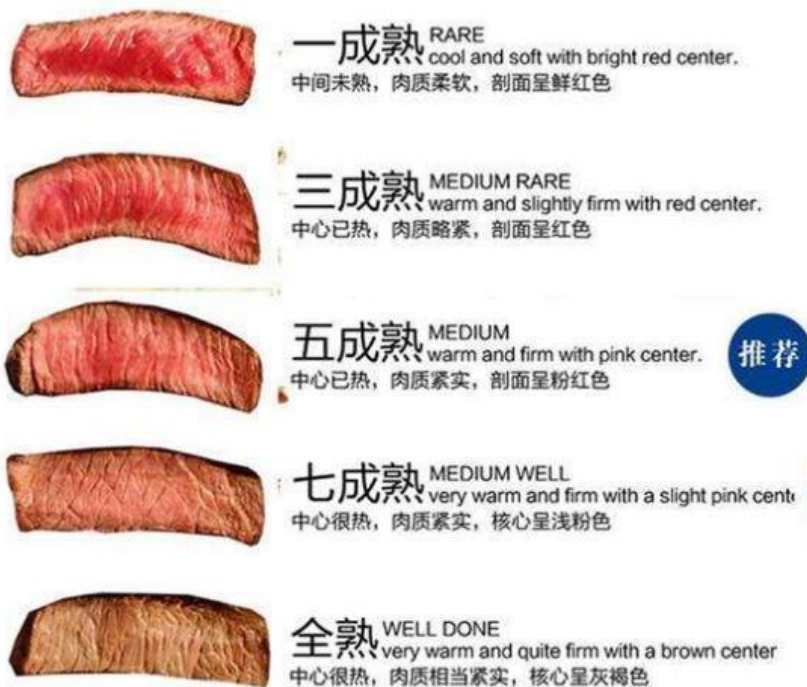
✓ 形状因子法

目 录

- 一、知识回顾
- 二、非稳态导热的定义与分类
- 三、非稳态导热的特点
- 四、非稳态导热的几种常见问题
- 五、非稳态导热相关的无量纲数
- 六、零维问题
- 七、零维问题的实际应用

非稳态导热的定义与分类

□ 生产生活中会遇到的案例



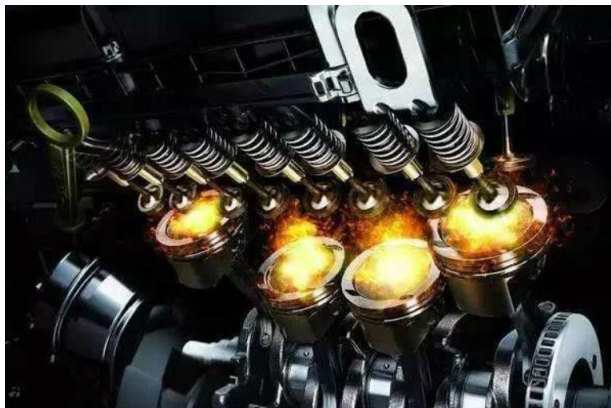
与稳态导热不同，温度分布受时间影响 $t = f(x, y, z, \tau)$

非稳态导热的定义与分类

非稳态导热：物体的温度随时间而变化的导热过程

随时间的推移逐渐趋近于恒定

随时间而做周期性变化



目 录

- 一、知识回顾
- 二、非稳态导热的定义与分类
- 三、非稳态导热的特点**
- 四、非稳态导热的几种常见问题
- 五、非稳态导热相关的无量纲数
- 六、零维问题
- 七、零维问题的实际应用

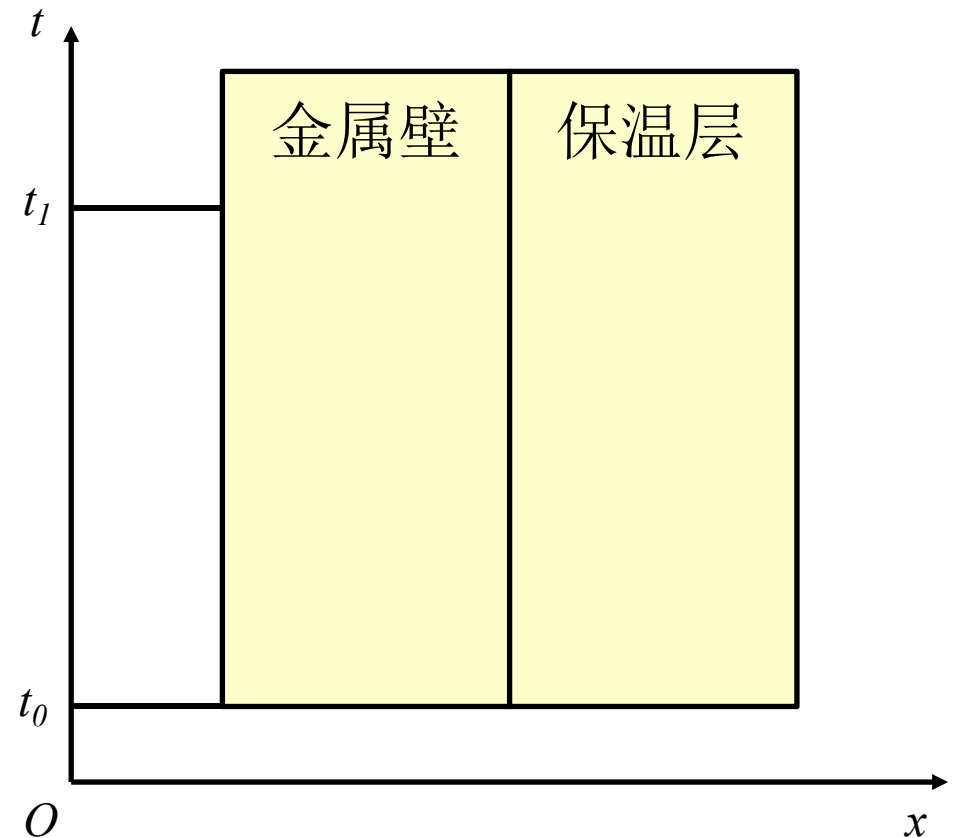
非稳态导热的特点

□ 不同于稳态导热，非稳态导热具有如下特点：

- 通过同一截面的热流量随时间变化
- 同一时刻，通过不同截面的热流量不同

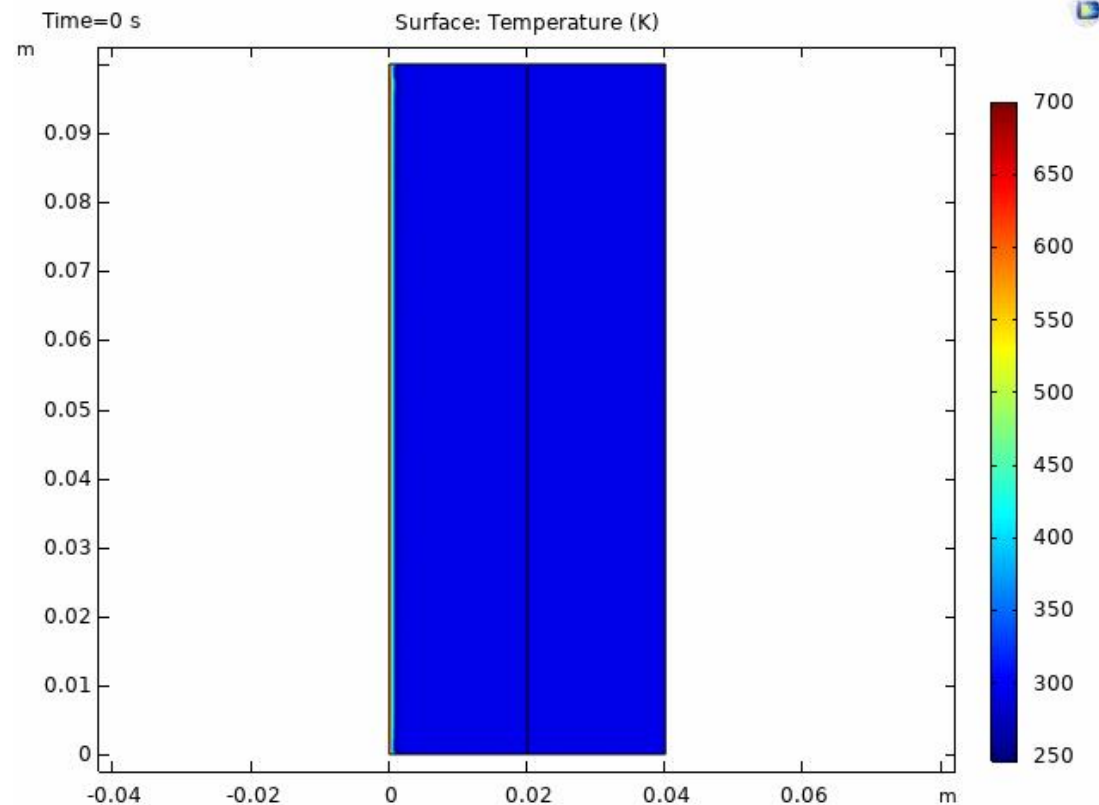
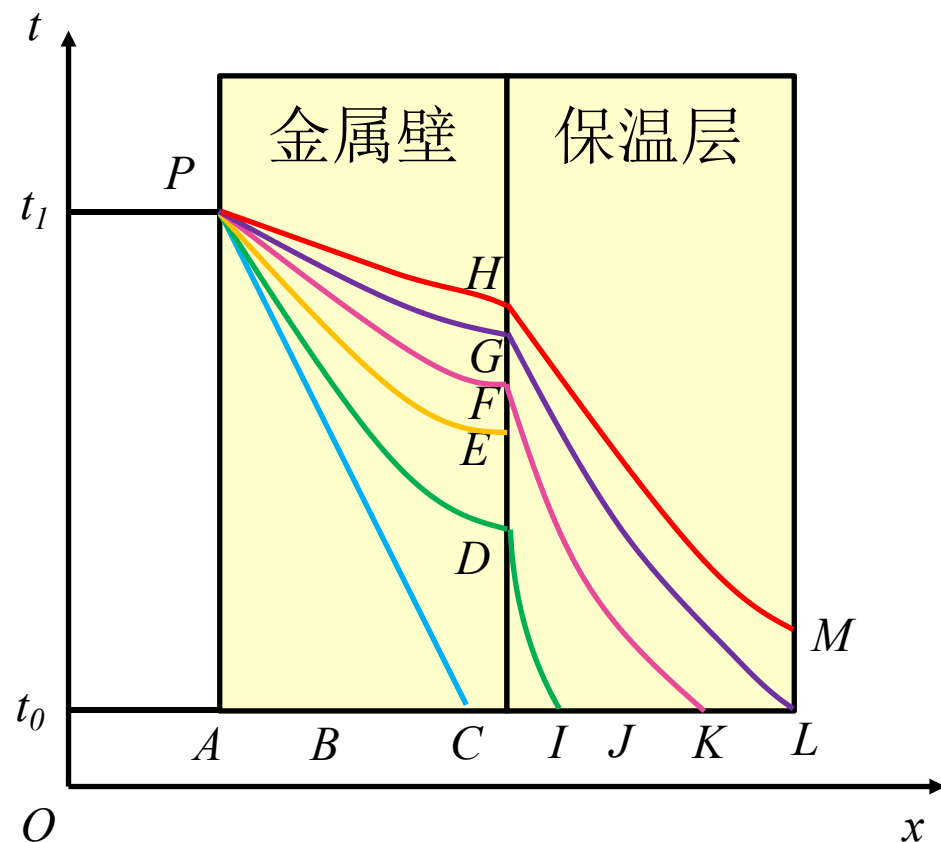
热机启动简化模型：

一复合平壁，左侧为金属壁，右侧为保温层，层间接触良好，两种材料的导热系数、密度及比热容均为常数，初始温度为 t_0 。然后，复合壁左侧表面温度突然升高到 t_1 ，并保持不变，而右侧仍与温度为 t_0 的空气接触。



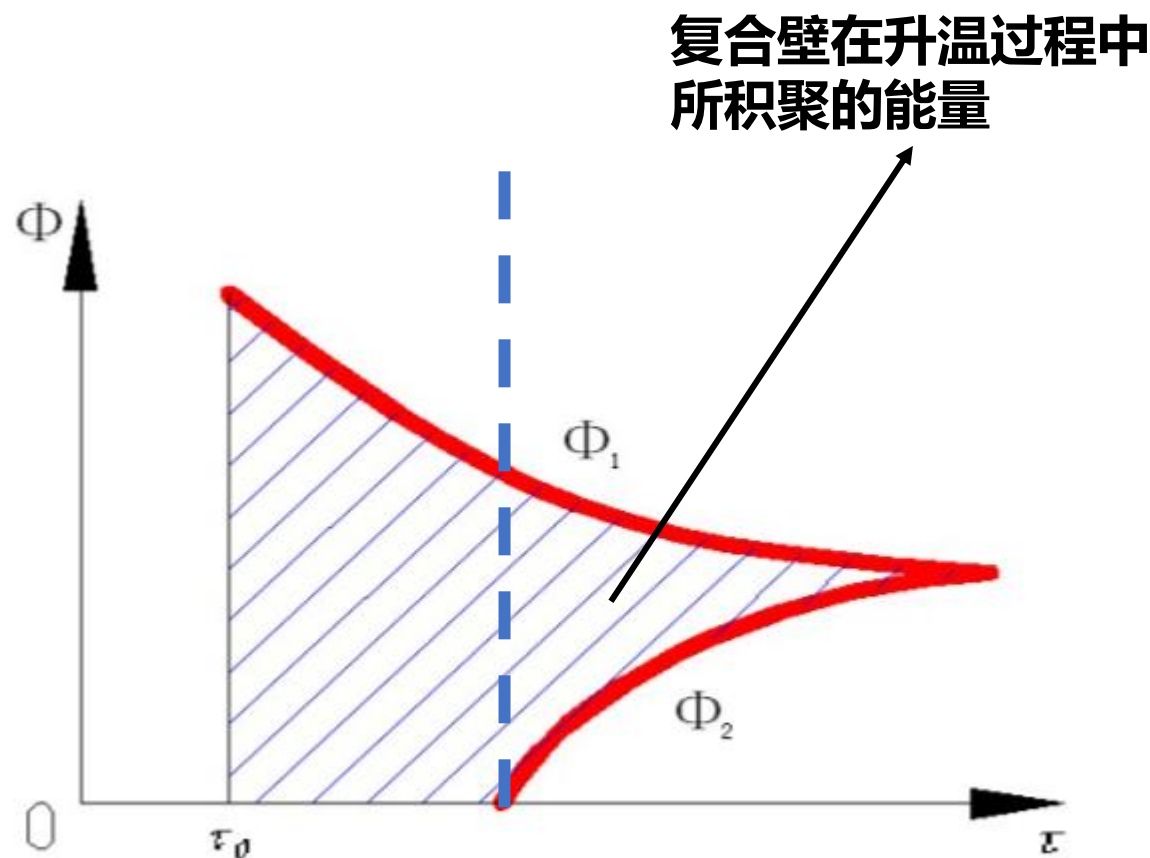
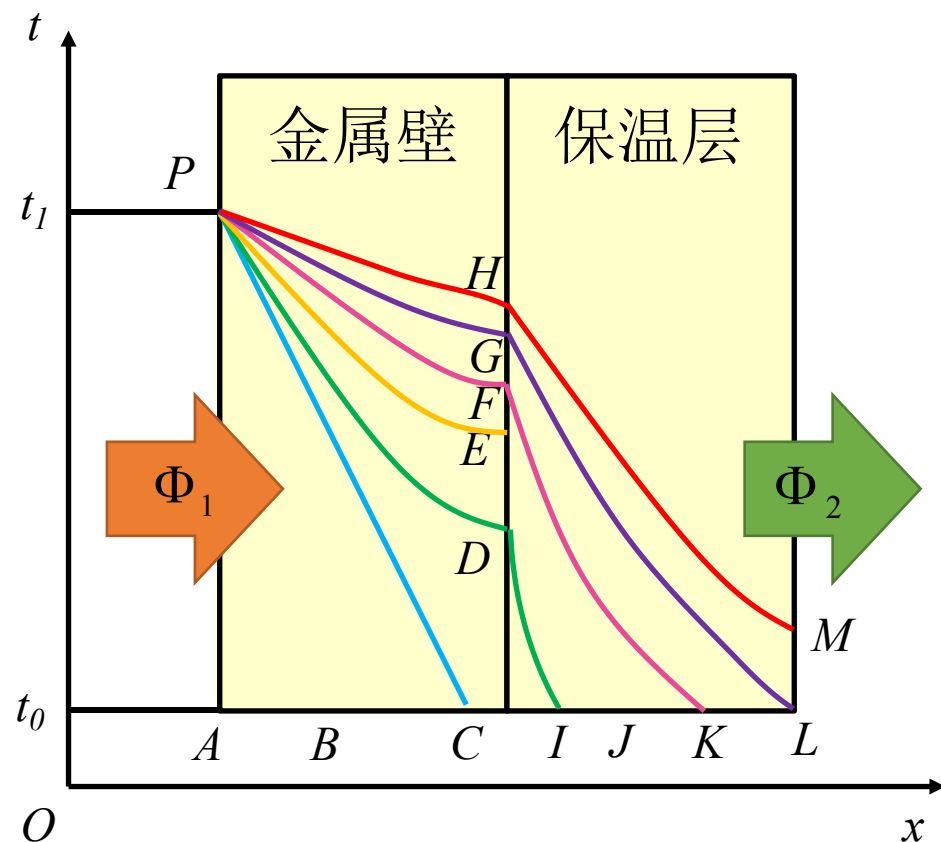
非稳态导热的特点

- 温度分布主要受初始温度分布的控制, 比如PBL, PCL, 为**非正规状况阶段**
- 温度分布主要受热边界条件的影响, 比如PD, PE, PF, PG, PH, 为**正规状况阶段**



非稳态导热的特点

- 非正规状况阶段： Φ_1 急剧减小， Φ_2 保持不变
- 正规状况阶段： Φ_1 逐渐减小， Φ_2 逐渐增大

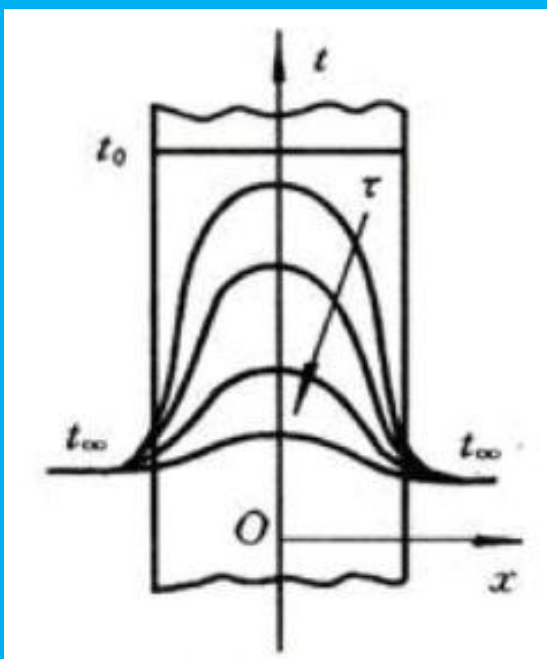


目 录

- 一、知识回顾
- 二、非稳态导热的定义与分类
- 三、非稳态导热的特点
- 四、非稳态导热的几种常见问题**
- 五、非稳态导热相关的无量纲数
- 六、零维问题
- 七、零维问题的实际应用

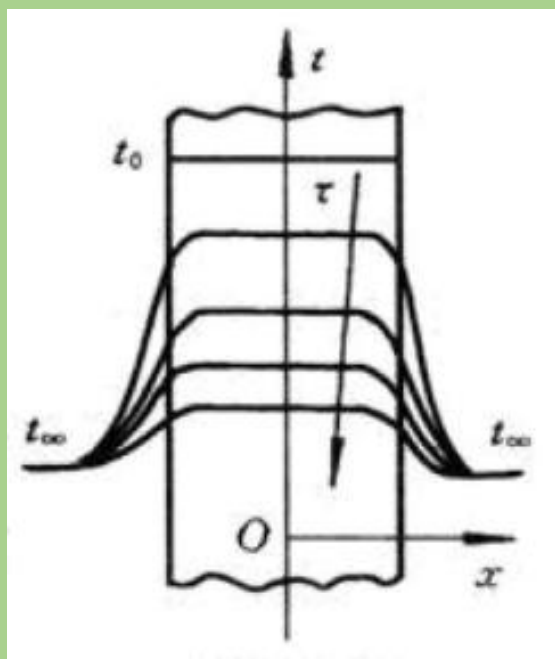
非稳态导热的几种常见问题

有一块厚为 2δ 的金属平板，初始温度为 t_0 ，突然将它置于温度为 t_∞ 的流体中进行冷却，表面传热系数为 h ，平板的导热系数为 λ 。平板中温度场的变化会出现以下三种情况：



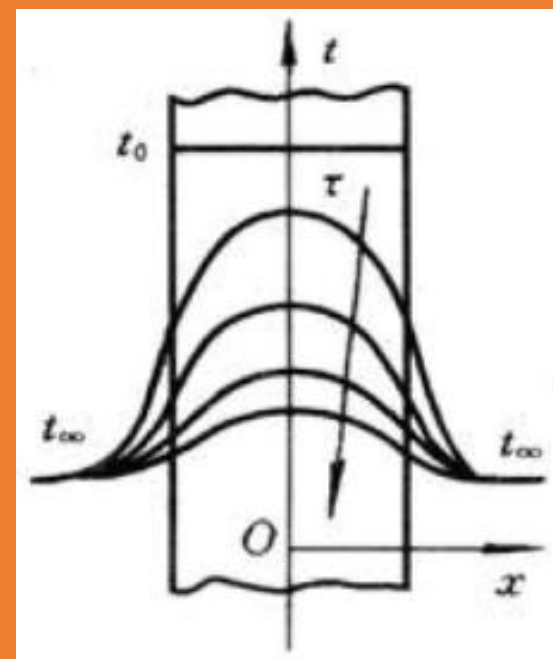
$$1/h \ll \delta/\lambda$$

表面对流换热热阻 $1/h$
可以忽略



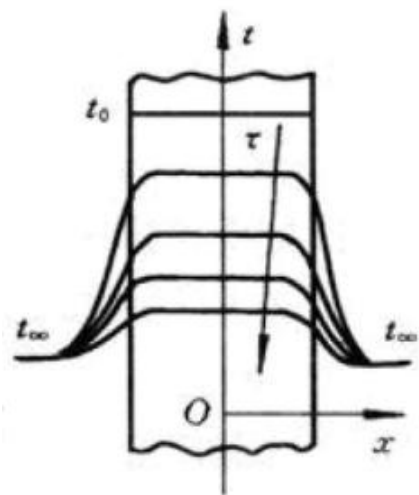
$$1/h \gg \delta/\lambda$$

平板内部导热热阻 δ/λ
几乎可以忽略



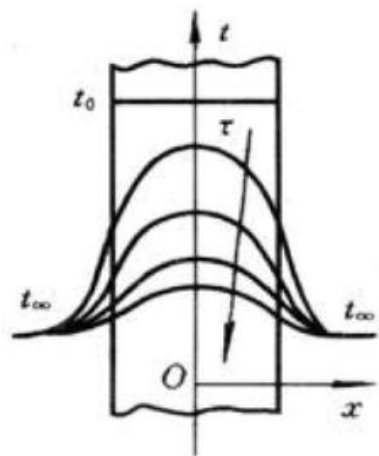
$1/h$ 与 δ/λ 的数值比较接近
平板中不同时刻的温度分布
介于两种极端情况之间

非稳态导热的几种常见问题



$$1/h \gg \delta/\lambda$$

任何时刻固体内部的温度都趋于一致，所求解的温度仅是时间 τ 的一元函数，而与空间坐标 x, y, z 无关



所求解的温度是时间 τ 与单一空间坐标 x 的函数

所求解的温度是时间 τ 与空间坐标 x, y, z 的函数

需要判定 $1/h$ 与 δ/λ 的关系，引入无量纲数

目 录

- 一、知识回顾
- 二、非稳态导热的定义与分类
- 三、非稳态导热的特点
- 四、非稳态导热的几种常见问题
- 五、非稳态导热相关的无量纲数**
- 六、零维问题
- 七、零维问题的实际应用

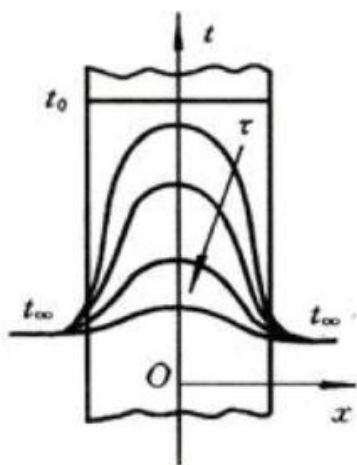
非稳态导热相关的无量纲数

□ 需要判定表面对流换热热阻 $1/h$ 与导热热阻 δ/λ 的关系，引入无量纲数毕渥数Bi

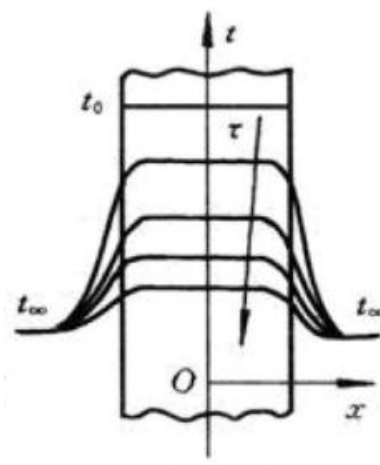
$$Bi = \frac{\text{固体内部单位导热面积上的导热热阻}}{\text{单位表面积上的换热热阻}} = \frac{\frac{\delta}{\lambda}}{\frac{1}{h}} = \frac{\delta h}{\lambda}$$



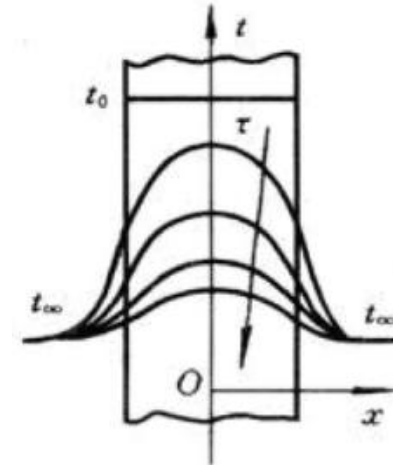
毕渥数 (Bi) 反映了物体在非稳态导热条件下物体内温度场的分布规律



$Bi \rightarrow \infty$
可以忽略对流热阻



$Bi \rightarrow 0$
可以忽略导热热阻




$Bi \approx 1$
需要同时考虑两种热阻

非稳态导热相关的无量纲数

□ 一维非稳态导热，平板厚 $2L$ ，导热系数 λ ，热扩散率 α ，无内热源，对流传热系数 h ，初始温度 T_i ，突然置于温度为 T_∞ 的流体中，设 $T_\infty < T_i$ ，确定温度分布 $T=f(x,\tau)$ 。

$$\rho c \frac{\partial T}{\partial \tau} = \frac{\partial}{\partial x} \left(\lambda \frac{\partial T}{\partial x} \right) + \cancel{\frac{\partial}{\partial y} \left(\lambda \frac{\partial T}{\partial y} \right)} + \cancel{\frac{\partial}{\partial z} \left(\lambda \frac{\partial T}{\partial z} \right)} + \cancel{\dot{q}}$$

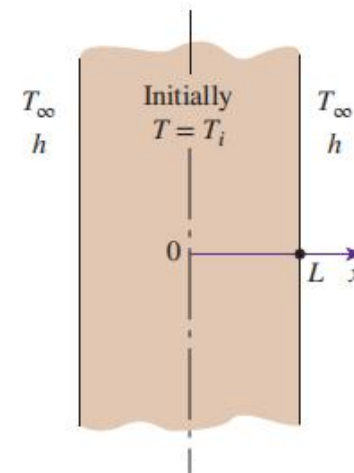
$$\alpha = \frac{\lambda}{\rho c}$$


$$\frac{\partial T}{\partial \tau} = \alpha \frac{\partial^2 T}{\partial x^2} \quad (0 \leq x < L, \tau > 0)$$

边界条件： @ $x = 0, \frac{dT}{dx} = 0$ @ $x = L, -\lambda \frac{dT}{dx} = h(T - T_\infty)$

初始条件： @ $\tau = 0, T = T_i$

$$T = f(\tau, \alpha, x, L, h, T_\infty, T_i)$$



非稳态导热相关的无量纲数

$$\frac{\partial T}{\partial \tau} = \alpha \frac{\partial^2 T}{\partial x^2} \quad (0 \leq x < \delta, \tau > 0) \quad \text{无量纲化处理} \quad \theta = \frac{T - T_\infty}{T_i - T_\infty} \quad X = \frac{x}{L}$$

$$\frac{\partial \theta}{\partial X} = \frac{\partial \left(\frac{T - T_\infty}{T_i - T_\infty} \right)}{\partial \left(\frac{x}{L} \right)} = \frac{L}{T_i - T_\infty} \frac{\partial T}{\partial x} \quad \frac{\partial^2 \theta}{\partial X^2} = \frac{\partial \left(\frac{\partial \theta}{\partial X} \right)}{\partial X} = \frac{\partial \left(\frac{L}{T_i - T_\infty} \frac{\partial T}{\partial x} \right)}{\partial \left(\frac{x}{L} \right)} = \frac{L^2}{T_i - T_\infty} \frac{\partial^2 T}{\partial x^2} \quad \boxed{\frac{\partial^2 T}{\partial x^2} = \frac{T_i - T_\infty}{L^2} \frac{\partial^2 \theta}{\partial X^2}}$$

$$\frac{\partial \theta}{\partial \tau} = \frac{\partial \left(\frac{T - T_\infty}{T_i - T_\infty} \right)}{\partial \tau} = \frac{1}{T_i - T_\infty} \frac{\partial T}{\partial \tau} \quad \boxed{\frac{\partial T}{\partial \tau} = (T_i - T_\infty) \frac{\partial \theta}{\partial \tau}} \quad t = \frac{\alpha \tau}{L^2} \quad \text{傅里叶数Fo}$$

$$\frac{\partial T}{\partial \tau} = \alpha \frac{\partial^2 T}{\partial x^2} \quad \Rightarrow \quad (\cancel{T_i - T_\infty}) \frac{\partial \theta}{\partial \tau} = \alpha \frac{\cancel{T_i - T_\infty}}{L^2} \frac{\partial^2 \theta}{\partial X^2} \quad \Rightarrow \quad \frac{\partial \theta}{\partial \left(\frac{\alpha \tau}{L^2} \right)} = \frac{\partial^2 \theta}{\partial X^2} = \frac{\partial \theta}{\partial t}$$

非稳态导热相关的无量纲数

$$\frac{\partial T}{\partial \tau} = \alpha \frac{\partial^2 T}{\partial x^2} \quad (0 \leq x < \delta, \tau > 0)$$

无量纲化处理

$$\theta = \frac{T - T_{\infty}}{T_i - T_{\infty}}$$

$$X = \frac{x}{L}$$

边界条件:

$$① \quad x = 0, \frac{dT}{dx} = 0$$

$$② \quad x = L, -\lambda \frac{dT}{dx} = h(T - T_{\infty})$$

初始条件:

$$① \quad \tau = 0, T = T_i$$

$$\frac{\partial \theta}{\partial t} = \frac{\partial^2 \theta}{\partial X^2}$$

边界条件:

$$① \quad X = 0, \frac{\partial \theta}{\partial X} = \frac{\partial \left(\frac{T - T_{\infty}}{T_i - T_{\infty}} \right)}{\partial \left(\frac{x}{L} \right)} = \frac{L}{T_i - T_{\infty}} \frac{\partial T}{\partial x} = 0$$

$$② \quad X = 1, \frac{\partial \theta}{\partial X} = \frac{L}{T_i - T_{\infty}} \frac{\partial T}{\partial x} = \frac{L}{T_i - T_{\infty}} \frac{h(T - T_{\infty})}{-\lambda} = -Bi\theta$$

初始条件:

$$① \quad t = 0, \theta = \frac{T_i - T_{\infty}}{T_i - T_{\infty}}$$

$$\theta = f(X, Bi, t)$$

非稳态导热相关的无量纲数

□ 傅里叶数 (Fo) 是表征非稳态导热过程进行深度的无量纲数

$$Fo = \frac{\alpha \tau}{l_c^2} = \frac{\tau}{\frac{l_c^2}{\alpha}} = \frac{\text{从边界上开始发生热扰动的时刻起至计算时刻的时间间隔}}{\text{边界上发生的热扰动穿过一定厚度扩散到 } l_c^2 \text{ 面积上所需时间}}$$



在非稳态导热过程中, Fo越大, 热扰动就越深入地传播到物体内部

l_c 为特征长度

平板 (δ 很小)	$l_c = \frac{V}{A_s} = \frac{ab\delta}{2ab + 2a\delta + 2b\delta} \approx \frac{\delta}{2}$
立方体	$l_c = \frac{V}{A_s} = \frac{a^3}{6a^2} = \frac{a}{6}$
圆柱	$l_c = \frac{V}{A_s} = \frac{h}{2}$ (扁片, $h \ll r$) $l_c = \frac{V}{A_s} = \frac{r}{2}$ (棒, $r \ll h$)
球	$l_c = \frac{V}{A_s} = \frac{\frac{4}{3}\pi r^3}{4\pi r^2} = \frac{r}{3}$

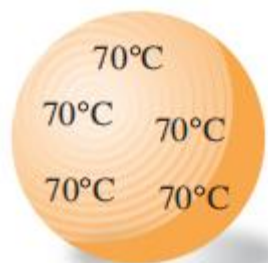
目 录

- 一、知识回顾
- 二、非稳态导热的定义与分类
- 三、非稳态导热的特点
- 四、非稳态导热的几种常见问题
- 五、非稳态导热相关的无量纲数
- 六、零维问题
- 七、零维问题的实际应用

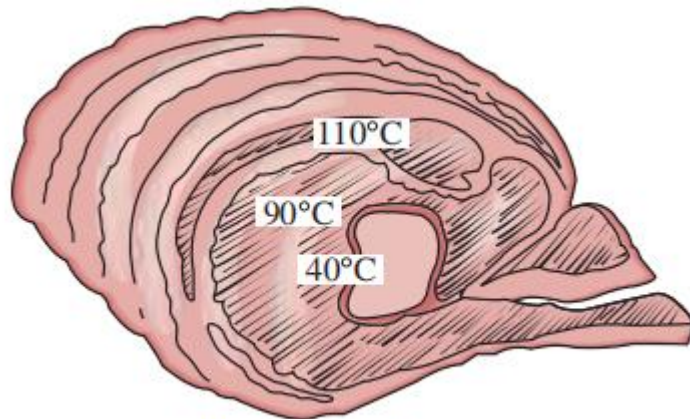
零维问题

□ 零维问题特点

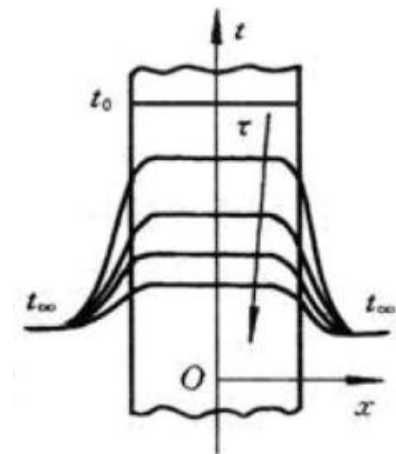
- 任何时刻固体内部的温度都趋于一致
- 整个固体在同一瞬间处于同一温度下
- 所求解的温度仅是时间的一元函数，而与空间坐标无关



(a) Copper ball



(b) Roast beef



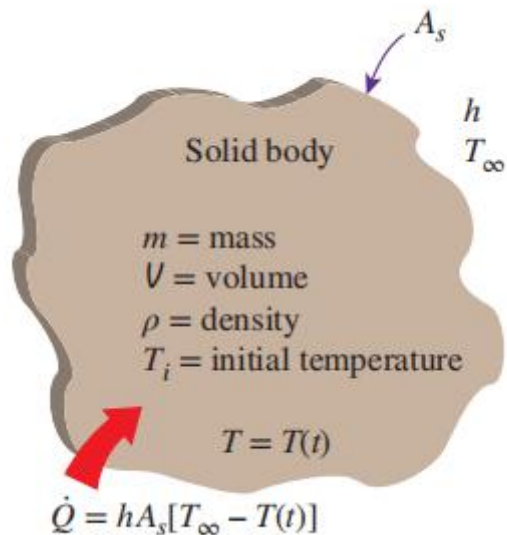
$$Bi \rightarrow 0$$

$$\delta / \lambda \ll 1 / h$$

忽略物体内部导热热阻的简化分析方法称为**集中参数法**（又称集总容量法，lumped parameter method）

零维问题

□ 任意形状物体，质量 m ，体积 V ，表面积 A_s ，密度 ρ ，比热容 c_p ，无内热源，对流传热系数 h ，初始温度 T_i ，突然置于温度为 T_∞ 的流体中，设 $T_\infty < T_i$ ，确定温度分布。假设该系统 $Bi \rightarrow 0$ 。



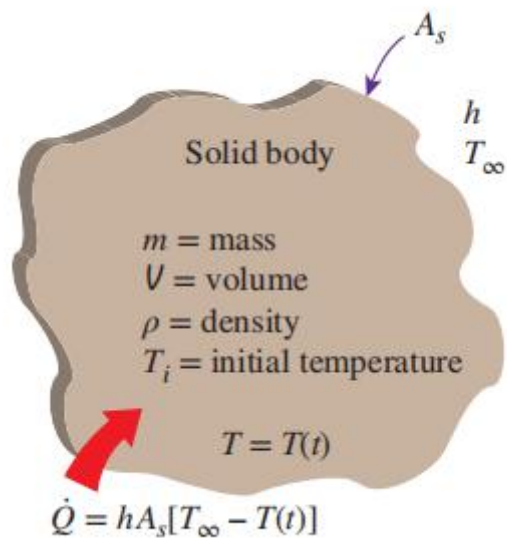
进入系统的能量 = 系统增加的能量

$$hA_s (T_\infty - T) d\tau = mc_p d(T - T_\infty) = \rho V c_p d(T - T_\infty)$$

$$\frac{d(T - T_\infty)}{T - T_\infty} = -\frac{hA_s}{\rho V c_p} d\tau$$

$$\frac{T - T_\infty}{T_i - T_\infty} = \exp\left(-\frac{hA_s}{\rho V c_p} \tau\right)$$

零维问题



$$\frac{T - T_\infty}{T_i - T_\infty} = \exp\left(-\frac{hA_s}{\rho V c_p} \tau\right)$$

$$\frac{hA_s}{\rho V c_p} \tau = \frac{h}{\rho c_p l_c} \tau = \frac{hl_c}{\lambda} \frac{\lambda}{\rho c_p l_c^2} \tau = \frac{hl_c}{\lambda} \frac{\alpha \tau}{l_c^2} = Bi \cdot Fo$$

以 l_c 为特征长度的傅里叶数

$$\frac{T - T_\infty}{T_i - T_\infty} = \exp(-Bi \cdot Fo)$$

以 l_c 为特征长度的毕渥数

零维问题

□ 瞬时热流量

$$\Phi = \rho c_p V \frac{dT}{d\tau} = A_s h (T_\infty - T) = (T_\infty - T_i) A_s h \frac{T_\infty - T}{T_\infty - T_i} = (T_\infty - T_i) A_s h \exp\left(-\frac{h A_s}{\rho c_p V} \tau\right)$$

□ 导热体在时间0~ τ 内传给流体的总热量

$$Q_r = \int_0^\tau \Phi(\tau) d\tau = (T_\infty - T_i) \rho c_p V \left[1 - \exp\left(-\frac{h A_s}{\rho c_p V} \tau\right) \right] \quad \begin{array}{l} T_\infty > T_i \\ \text{(物体被加热情况)} \end{array}$$

$$Q_r = \int_0^\tau \Phi(\tau) d\tau = (T_i - T_\infty) \rho c_p V \left[1 - \exp\left(-\frac{h A_s}{\rho c_p V} \tau\right) \right] \quad \begin{array}{l} T_\infty < T_i \\ \text{(物体被冷却情况)} \end{array}$$

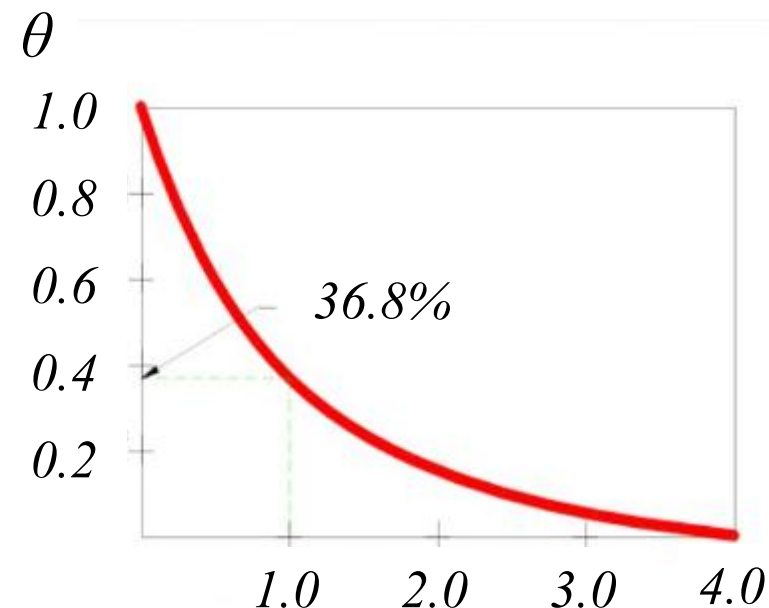
物体内部导热热阻可以忽略时的加热或者冷却，又称**牛顿加热或牛顿冷却**

零维问题

□ 时间常数 (time constant)

$$\tau_c = \frac{\rho c_p V}{h A_s}$$

$$\frac{T - T_\infty}{T_i - T_\infty} = \exp\left(-\frac{h A_s}{\rho V c_p} \tau_c\right) = \exp(-1) = 36.8\%$$



时间常数是**对流体温度变动响应快慢**的指标：时间常数越小，越能迅速反映出流体温度的变动

时间常数与几何形状、密度、比热、与环境的换热情况有关

零维问题

□ 集中参数法的适用范围

几何尺寸很小

$$\frac{\delta}{\lambda} \ll \frac{1}{h} \quad (Bi \rightarrow 0)$$

导热系数很大

表面传热系数很小

使用集中参数法第一步必须做Bi数的判定

对于平板、圆柱与球中的一维非稳态Robin边界条件下的导热问题，

$$Bi = \frac{hl_c}{\lambda} < 0.1$$

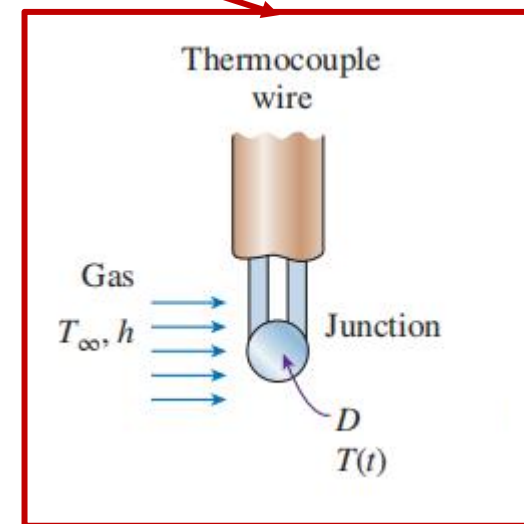
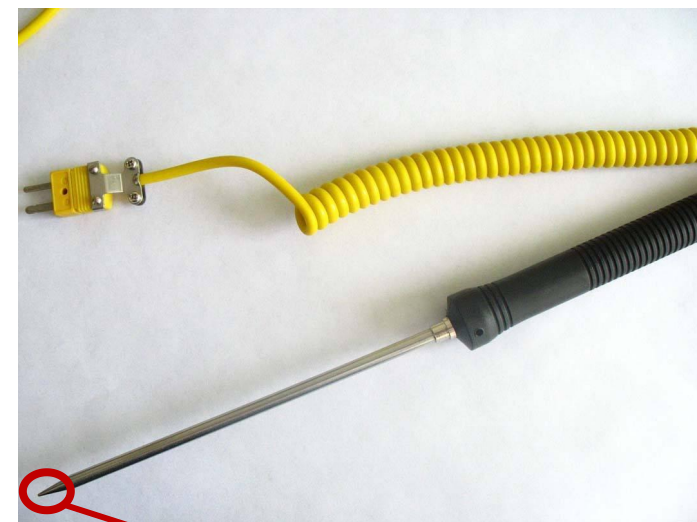
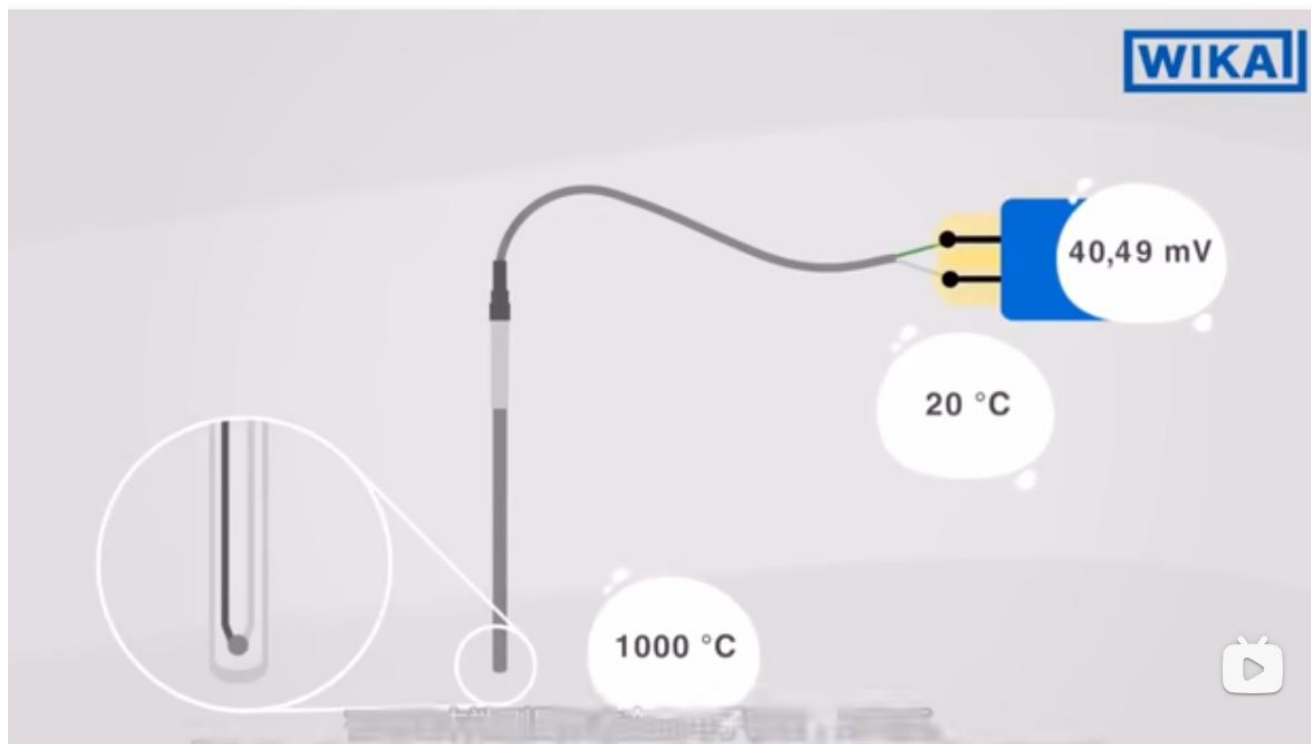
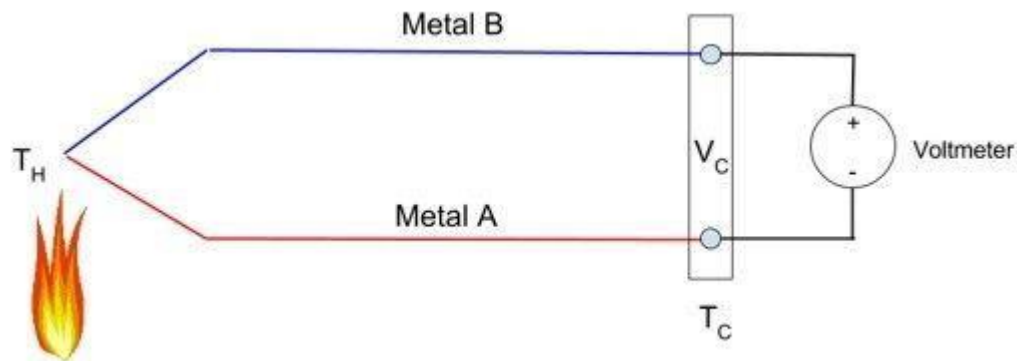
物体中最大与最小的过余温度之差小于5%

目 录

- 一、知识回顾
- 二、非稳态导热的定义与分类
- 三、非稳态导热的特点
- 四、非稳态导热的几种常见问题
- 五、非稳态导热相关的无量纲数
- 六、零维问题
- 七、零维问题的实际应用

零维问题的实际应用

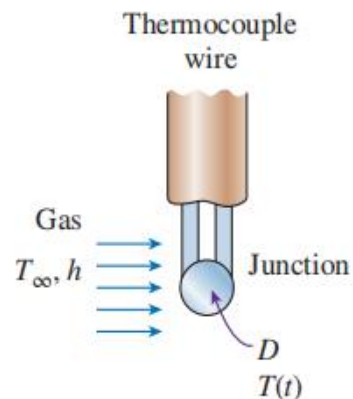
□ 热电偶测温



零维问题的实际应用

□ 热电偶测温

例题：一热电偶热接点可近似地看成球形，初始温度为 25°C ，后被置于温度为 200°C 的气流中。问欲使热电偶的时间常数 $\tau_c=1\text{s}$ ，热接点的直径应为多大？已知热接点与气流间的表面传热系数为 $35\text{W}/\text{m}^2\cdot\text{K}$ ，热接点的物性为： $c=400\text{J}/(\text{kg}\cdot\text{K})$ ， $\rho=8500\text{kg}/\text{m}^3$ ， $\lambda=20\text{W}/(\text{m}\cdot\text{K})$ 。如果气流与热接点之间还有辐射换热，对所需的热接点直径有何影响？热电偶引线的影响忽略不计。



零维问题的实际应用

□ 等离子体喷镀

粉末由送粉气体送入等离子体射流后被熔化、加速、喷射到基体材料表面形成涂层，可以改善材料的耐腐蚀性和耐磨性



零维问题的实际应用

□ 等离子体喷镀

例题：喷镀过程中，把陶瓷粉末粉末注入温度高达 10^4K 的等离子气流中，在到达被喷镀的表面之前，陶瓷粉末吸收等离子气流的热量迅速升温到熔点并完全溶化为液滴，然后被冲击到被喷镀表面迅速凝固，形成一镀层。设陶瓷粉末颗粒的直径为 $50\mu\text{m}$ ，密度 $\rho = 3970\text{kg/m}^3$ ，导热系数 $\lambda = 11\text{W}/(\text{m}\cdot\text{K})$ ，比热容 $c = 1560\text{J}/(\text{kg}\cdot\text{K})$ ，这些粉末颗粒与气流间的表面换热系数为 $10000\text{W}/\text{m}^2\cdot\text{K}$ ，粉末颗粒的熔点为 2350K ，溶解潜热为 3580kJ/kg 。试在不考虑颗粒的辐射热损失时确定从 $t_0 = 300\text{K}$ 加热到其熔点所需的时间，以及从刚到达熔点直至全部熔为液滴所需的时间。

预习小测验答案

1.(多选题, 1分)

关于非稳态导热, 描述正确的是

- A. 非稳态导热过程分为两类: 1. 温度随时间的推移逐渐趋近于恒定的值; 2. 温度随时间而做周期性的变化
- B. 非正规状况阶段的温度分布主要受热边界条件影响控制
- C. 非稳态导热是物体的温度随时间而变化的导热过程
- D. 正规状况阶段的温度分布主要受初始温度分布影响控制

答案: AC

2.(多选题, 1分)

关于与非稳态导热相关的两个无量纲数, 描述正确的是

- A. 傅里叶数越大, 热扰动就越深入地传播到物体内部
- B. 毕渥数反映了物体在非稳态导热条件下物体内温度场的分布规律
- C. 毕渥数越大, 导热热阻越小
- D. 傅里叶数是表征非稳态导热过程进行深度的无量纲数

答案: ABD

3.(多选题, 1分)

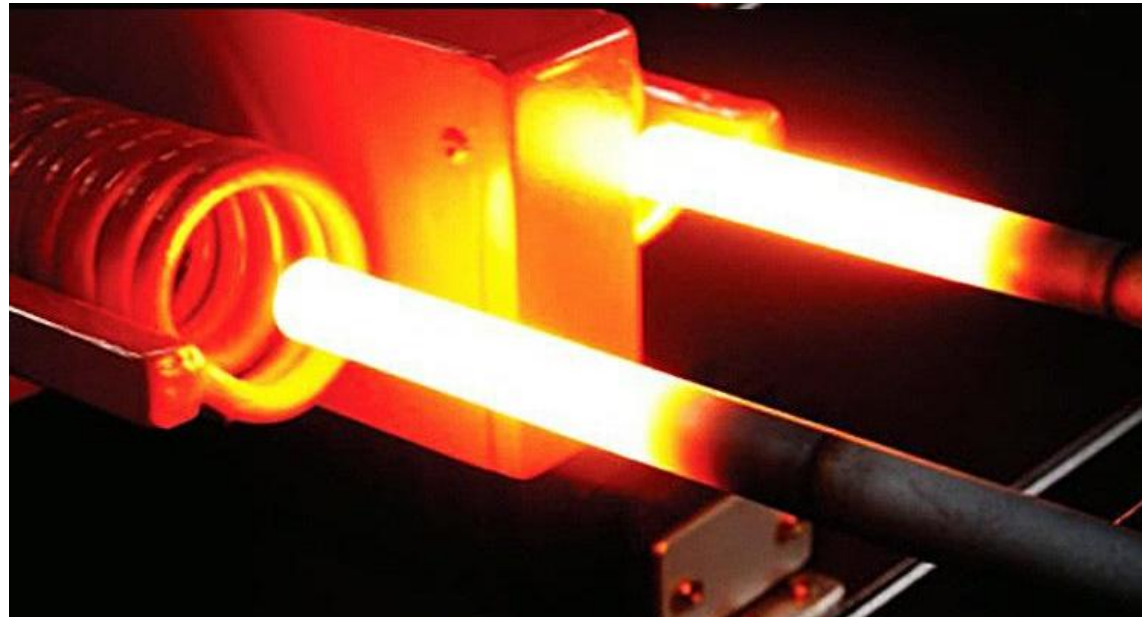
关于集中参数法描述错误的是

- A. 集中参数法所求解的温度仅是时间的一元函数, 而与空间坐标 x, y, z 无关
- B. 当毕渥数趋近于无穷大时, 可以使用集中参数法
- C. 集中参数法是忽略表面换热热阻的简化分析方法
- D. 使用集中参数法第一步必须做毕渥数的判定

答案: BC

练习题

一根2m长铜棒，刚刚从控温在 300°C 的炉中取出，被立在 35°C 的房间里的一个绝热台面上。表面传热系数为 $10\text{W}/(\text{m}^2\cdot^{\circ}\text{C})$ 。铜棒的半径为1cm。试使用集中参数法计算使这根铜棒冷却到 100°C 所需要的时间以及这段时间所散发的热量 Q 。已知 $c=0.38\text{kJ}/(\text{kg}\cdot^{\circ}\text{C})$ ， $\rho=8954\text{kg}/\text{m}^3$ ， $\lambda=386\text{W}/(\text{m}\cdot^{\circ}\text{C})$ 。



课后作业

陶文铨《传热学》（第五版）P137 3-14